

УДК 539.374

**ОПРЕДЕЛЕНИЕ УПРУГОПЛАСТИЧЕСКИХ ДЕФОРМАЦИЙ ВОКРУГ  
ЦИЛИНДРИЧЕСКОЙ ВЫРАБОТКИ ПО СМЕЩЕНИЯМ ЕЕ ГРАНИЦЫ**

**А. И. Чанышев, И. М. Абдулин**

*Институт горного дела им. Н. А. Чинакала СО РАН,  
Красный проспект, 54, 630091, г. Новосибирск, Россия*

Предлагается определять пластическое состояние массива пород вокруг незакрепленной цилиндрической выработки по данным измерений смещений на ее поверхности. Получаемая (переопределенная с точки зрения классической постановки) задача имеет единственное решение, позволяющее, не рассматривая упругопластическую задачу, находить напряжения, деформации, смещения в пластической области деформирования и в том числе упругопластическую границу.

*Напряжения, деформации, упругость, пластичность, упругопластическая граница, переопределенная задача, задача Коши*

Известно, что около отверстий образуется зона повышенных напряжений. При достижении напряжениями некоторой заданной величины материал возле отверстия переходит в неупругое состояние. Основная задача исследований — получить распределение напряжений, деформаций, перемещений в области неупругости, найти границу, отделяющую область неупругости от области упругости.

Решению этой проблемы посвящено множество работ [1 – 10]. Отметим принципиальную суть этих решений. По образному выражению Е. И. Шемякина, решения [1 – 10] отвечают следующему принципу: напряжения в упругопластической задаче определяются при движении от контура выработки в глубь массива пород (до “бесконечности”), смещения восстанавливаются наоборот — при движении из глубины массива пород к контуру выработки. Что это означает? Поскольку задача для напряжений в плоском варианте теории пластичности (в случае плоской деформации) относится к гиперболическому типу, то напряжения, исходя из характеристик, определяются через краевые условия на контуре выработки. Далее для отыскания напряжений в области упругости применяются формулы Колосова – Мухелишвили и граничные условия на “бесконечности”:

$$\sigma_x|_{\infty} = -p, \quad \sigma_y|_{\infty} = -q, \quad \tau_{xy}|_{\infty} = 0 \quad (p, q > 0).$$

Используя условия непрерывности напряжений на упругопластической границе, конформное отображение области упругих деформаций на внешность единичной окружности, восстанавливаются комплексные потенциалы  $\Phi(\xi)$ ,  $\Psi(\xi)$ ,  $\Phi(z)$ ,  $\Psi(z)$  ( $z = w(\xi)$  — конформно-отображающая функция),  $\varphi(z)$ ,  $\psi(z)$ . По этим функциям находятся напряжения и смещения в упругой области деформирования вплоть до упругопластической границы  $L$ . После восстановления смещений в упругой области деформирования строятся смещения в пластической зоне, чему

посвящена работа [11]. При этом используется то обстоятельство, что задача определения смещений в пластической зоне также относится к гиперболическому типу. По краевым условиям на упругопластической границе  $L$  восстанавливаются неупругие смещения на контуре выработки.

Ниже предлагается другое решение рассматриваемой задачи при условии, что на контуре выработки, кроме вектора напряжений Коши, задается еще и вектор перемещений, однако условия на “бесконечности” здесь не используются. По этим переопределенным с точки зрения классической постановки условиям получаются напряжения, смещения сначала в области пластических деформаций, затем они выстраиваются в области упругих деформаций. При этом и напряженное, и деформационное состояния (деформации определяются через перемещения) находятся одновременно при движении от контура выработки в глубь массива пород. Упругопластическая граница определяется без решения упругопластической задачи, а для нахождения напряжений, деформаций, смещений в области упругости используются одновременно три формулы Колосова – Мусхелишвили, из которых вначале получаются потенциалы Колосова – Мусхелишвили, а затем по ним восстанавливаются напряжения, деформации и смещения в области упругости.

Алгоритм решения данной задачи выглядит следующим образом. Имеется участок идеально-пластического деформирования материала (рис. 1). На площадке  $AB$   $\tau = \tau_s$  ( $\tau_s$  — константа материала), при этом для данного напряжения  $\tau = \tau_s$  сдвиг  $\gamma$ , как видно из рис. 1, изменяется в широких пределах. Отыскать значение  $\gamma$  можно, определив сначала распределение смещений в деформируемом теле, затем дифференцированием этого поля установив все возможные деформации и в том числе сдвиг  $\gamma$  в зависимости от смещений на границе самого тела. Эта идея была высказана еще в 70-е годы прошлого столетия Е. И. Шемякиным. Развитие ее представлено в данной работе.

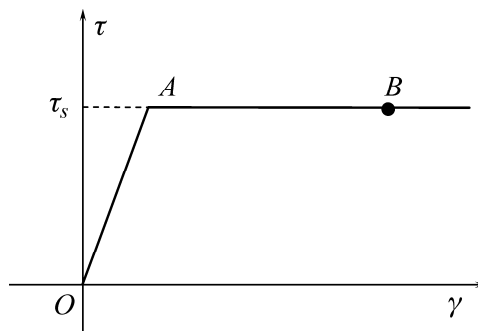


Рис. 1. Диаграмма идеальной пластичности (по оси ординат откладывается максимально-касательное напряжение, по оси абсцисс — максимальная сдвиговая деформация)

Рассмотрим следующую постановку задачи. Пусть в направлении оси  $z$  деформация отсутствует ( $\varepsilon_z = 0$ ), а в плоскости  $xOy$  задано сечение выработки в виде кругового отверстия радиусом  $a$  (рис. 2).

Контур выработки свободен от напряжений:

$$\sigma_r|_{r=a} = 0, \quad \tau_{r\theta}|_{r=a} = 0, \quad (1)$$

а в зоне пластических деформаций справедливо условие пластичности Треска:

$$\sigma_1 - \sigma_3 = \sqrt{(\sigma_r - \sigma_\varphi)^2 + 4\tau_{r\varphi}^2} = 2\tau_s \quad (\tau_s > 0), \quad (2)$$

где  $\tau_s$  — предел упругости;  $\sigma_1, \sigma_2, \sigma_3$  — главные напряжения,  $\sigma_1 \geq \sigma_2 \geq \sigma_3$ ,  $\sigma_2 = \sigma_z$ ;  $r, \varphi$  — полярные координаты, кроме того, выполняется условие соосности тензоров напряжений и деформаций:

$$\frac{2\tau_{r\varphi}}{\sigma_r - \sigma_\varphi} = \frac{2\varepsilon_{r\varphi}}{\varepsilon_r - \varepsilon_\varphi}. \quad (3)$$

Пусть в направлении 2-го главного направления связь между напряжениями и деформациями — упругая, что соответствует известному предположению Хаара–Кармана для случая неполной пластичности [12]:

$$\varepsilon_2 = \frac{\sigma_2}{E} - \frac{\nu}{E}\sigma_1 - \frac{\nu}{E}\sigma_3 \quad (4)$$

или, в силу условия  $\varepsilon_z = 0$ , выражению

$$\sigma_2 = \nu(\sigma_1 + \sigma_3). \quad (5)$$

Будем считать также, что исследуемый материал подчиняется закону упругого изменения объема:

$$\frac{(\sigma_1 + \sigma_2 + \sigma_3)(1 - 2\nu)}{E} = \varepsilon_1 + \varepsilon_2 + \varepsilon_3, \quad (6)$$

где  $E$  — модуль Юнга;  $\nu$  — коэффициент Пуассона.

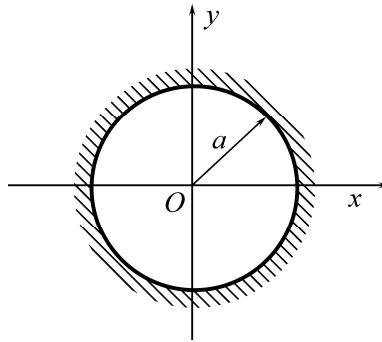


Рис. 2. Сечение выработки в виде кругового отверстия радиусом  $a$

Подставляя (5) в (6) и используя условие  $\varepsilon_2 = 0$ , находим

$$\varepsilon_1 + \varepsilon_3 = \frac{(\sigma_1 + \sigma_3)(1 - 2\nu)}{2G}, \quad (7)$$

где  $2G = E/(1 + \nu)$  — модуль сдвига.

Далее, используя уравнения равновесия  $\sigma_{ij,j} = 0$  и условие пластичности (2), имеем известную [13] гиперболическую систему уравнений с двумя характеристиками, совпадающими с направлениями действия максимального касательного напряжения и двумя соотношениями на них, связывающими среднее напряжение и угол, задающий направление главных осей тензоров напряжений или деформаций (оси по условию (3) совпадают). Используя это обстоятельство и граничные условия (1), находим, что напряжения в области пластичности записываются однозначно выражениями

$$\sigma_r = 2\tau_s \ln \frac{r}{a}, \quad \sigma_\varphi = -2\tau_s + 2\tau_s \ln \frac{r}{a}, \quad \tau_{r\varphi} = 0. \quad (8)$$

При этом, однако, неизвестно до какой границы распространяется это решение (8).

Чтобы определить ее, будем считать, что на границе выработки  $r = a$  известно также распределение перемещений в виде

$$u_r|_{r=a} = \alpha(\varphi), \quad u_\varphi|_{r=a} = \beta(\varphi), \quad (9)$$

где  $u_r$  — радиальное;  $u_\varphi$  — тангенциальное перемещение;  $\varphi$  — полярный угол;  $\alpha$ ,  $\beta$  — заданные функции.

Для отыскания смещений, а по ним деформаций  $\varepsilon_r, \varepsilon_\varphi, \varepsilon_{r\varphi}$  перепишем условия (3), (7) в терминах перемещений  $u_r, u_\varphi$ :

$$\begin{cases} \frac{\partial u_r}{\partial r} + \frac{u_r}{r} + \frac{\partial u_\varphi}{r \partial \varphi} = - \left(1 - 2 \ln \frac{r}{a}\right) \frac{\tau_s (1 - 2\nu)}{G}, \\ \frac{\partial u_r}{r \partial \varphi} + \frac{\partial u_\varphi}{\partial r} - \frac{u_\varphi}{r} = 0. \end{cases} \quad (10)$$

Первое уравнение в (10) — это (7), второе уравнение — (3) при условии  $\tau_{r\varphi} = 0$ , определяющее равенство  $\varepsilon_{r\varphi} = 0$ .

Используя (10), получим отдельно уравнения для отыскания смещений  $u_r, u_\varphi$ . Возьмем из первого уравнения (10) производную  $\frac{1}{r} \frac{\partial}{\partial \varphi}$ , а из второго — производную  $\frac{\partial}{\partial r}$  и вычтем из первого уравнения второе. В результате получим

$$\frac{2}{r^2} \frac{\partial u_r}{\partial \varphi} + \frac{1}{r^2} \frac{\partial^2 u_\varphi}{\partial \varphi^2} - \frac{\partial^2 u_\varphi}{\partial r^2} - \frac{u_\varphi}{r^2} + \frac{1}{r} \frac{\partial u_\varphi}{\partial r} = 0. \quad (11)$$

С помощью второго уравнения (10) (выражая из него производную  $\frac{\partial u_r}{r \partial \varphi}$ ) находим

$$\frac{\partial^2 u_\varphi}{\partial r^2} - \frac{\partial^2 u_\varphi}{r^2 \partial \varphi^2} + \frac{1}{r} \frac{\partial u_\varphi}{\partial r} - \frac{u_\varphi}{r^2} = 0. \quad (12)$$

В это уравнение не входит  $u_r$ , оно в чистом виде определяет смещение  $u_\varphi$ . Уравнение (12) относится к гиперболическому типу с двумя вещественными характеристиками, совпадающими с логарифмическими спиралями. Далее продифференцируем первое уравнение (10) по  $r$ , а из второго уравнения выразим производную  $\frac{1}{r} \frac{\partial}{\partial \varphi}$ , после чего вычтем из первого уравнения второе. В результате имеем

$$\frac{\partial^2 u_r}{\partial r^2} - \frac{1}{r^2} \frac{\partial^2 u_r}{\partial \varphi^2} + \frac{1}{r} \frac{\partial u_r}{\partial r} - \frac{u_r}{r^2} = \frac{2\tau_s (1 - 2\nu)}{rG}. \quad (13)$$

Это неоднородное дифференциальное уравнение 2-го порядка для определения смещения  $u_r$ . Его решение ищем в виде суммы общего решения однородного дифференциального уравнения и частного решения неоднородного. Частное решение неоднородного уравнения есть

$$u_r^{\text{частное}} = A r \ln r, \quad (14)$$

где  $A = [\tau_s (1 - 2\nu)]/G$ .

Однородное дифференциальное уравнение, соответствующее (13), имеет вид (12). Дальнейшая задача заключается в написании общего решения однородного дифференциального уравнения (12). Будем искать решение уравнения (12) в виде произведения двух функций, каждая из которых зависит от “своего” аргумента:

$$u_\varphi = f(r)g(\varphi). \quad (15)$$

Подставляя (15) в (12), получим уравнение

$$\frac{g''(\varphi)}{g(\varphi)} = -\frac{r^2}{f} \left[ f'' + \frac{1}{r} f'(r) - \frac{f}{r^2} \right]. \quad (16)$$

Здесь штрихами обозначаются производные. Слева в (16) стоит функция переменной  $\varphi$ , справа – переменной  $r$ . Очевидно, что  $g(\varphi)$  должна быть периодической функцией угла  $\varphi$  (период должен совпадать с  $2\pi$ ). По этой причине положим

$$\frac{g''(\varphi)}{g(\varphi)} = -k^2,$$

где  $k$  — целое число.

Тогда функция  $g(\varphi)$  запишется как

$$g(\varphi) = C_1 \cos k\varphi + C_2 \sin k\varphi, \quad (17)$$

где  $C_1, C_2$  — произвольные постоянные. Для определения функции  $f$  имеем уравнение

$$f'' + \frac{1}{r} f'(r) - \frac{(1-k^2)f}{r^2} = 0. \quad (18)$$

Будем искать решение (18) в виде

$$f = r^\lambda,$$

где  $\lambda$  — постоянное число.

Для  $\lambda$  из (18) получаем значения:

$$\lambda_{1,2} = \pm \sqrt{1-k^2}.$$

Если  $k = 0$ , то

$$f = D_1 r + \frac{D_2}{r}, \quad (19)$$

где  $D_1, D_2$  — константы;

если  $k = \pm 1$ , то

$$f = D_1 \ln r + D_2, \quad (20)$$

в противном случае ( $|k| \geq 2$ ) числа  $\lambda$  получаются комплексными (чисто мнимыми) и решение  $f$  записывается в виде

$$f(r) = D_1 \cos \ln r^{\sqrt{k^2-1}} + D_2 \sin \ln r^{\sqrt{k^2-1}}, \quad (21)$$

потому что

$$r^{i\sqrt{k^2-1}} = e^{\ln r^{i\sqrt{k^2-1}}} = e^{i\sqrt{k^2-1} \ln r}.$$

Аналогично находится решение однородного дифференциального уравнения (13).

Рассмотрим примеры построения решений для некоторых частных случаев.

**А.** Пусть  $k = 0$ , смещения  $u_r, u_\varphi$ , полученные выше, запишутся в виде

$$\begin{cases} u_r = E_1 r + \frac{E_2}{r} + \frac{\tau_s(1-2\nu)}{G} r \ln r, \\ u_\varphi = D_1 r + \frac{D_2}{r}, \end{cases} \quad (22)$$

где  $E_1, E_2, D_1, D_2$  — константы.

Для определения связей между константами  $E_1, E_2, D_1, D_2$  используем (10). Из (10) следуют зависимости между константами и окончательный вид функций  $u_r, u_\varphi$ :

$$\begin{cases} u_r = \frac{\tau_s(1-2\nu)}{G} r \left( \ln \frac{r}{a} - 1 \right) + \frac{E_2}{r}, \\ u_\varphi = D_1 r. \end{cases} \quad (23)$$

Если при  $r = 0$   $u_\varphi|_{r=a} = 0$ , то  $D_1 = 0$ . Для определения значения константы  $E_2$  имеем зависимость

$$u_r|_{r=a} = \frac{E_2}{a}. \quad (24)$$

Используя (23), найдем максимальную сдвиговую деформацию:

$$\gamma = \frac{\varepsilon_r - \varepsilon_\varphi}{2} = \frac{1}{2} \left( \frac{\partial u_r}{\partial r} - \frac{u_r}{r} - \frac{\partial u_\varphi}{r \partial \varphi} \right) = \frac{\tau_s(1-2\nu)}{2G} - \frac{E_2}{r^2}. \quad (25)$$

Для того чтобы вокруг выработки была пластическая зона, необходимо, чтобы этот сдвиг на контуре выработки был больше величины  $\gamma_s = \tau_s/(2G)$ , где  $\gamma_s$  — предельный упругий сдвиг, т. е.

$$\frac{E_2}{a^2} \leq -\frac{\tau_s \nu}{G}.$$

Другими словами, смещение  $u_r$  на границе выработки, отнесенное к радиусу выработки  $a$ , должно быть отрицательным и больше по абсолютной величине отношения  $\tau_s \nu / G$ .

Упругопластическая граница  $r = c$  находится из (25), где максимальная сдвиговая деформация  $\gamma = \gamma_s$ .

Из этого условия получим

$$\frac{c}{a} = \sqrt{-\frac{u_r|_{r=a}}{a} \frac{G}{\nu \tau_s}}. \quad (26)$$

**В.** Пусть  $k = 1$ , тогда смещения  $u_r, u_\varphi$  примут вид

$$\begin{cases} u_r = (E_1 \ln r + E_2) \sin(\varphi - \chi) + \frac{\tau_s(1-2\nu)}{G} r \left( \ln \frac{r}{a} - 1 \right), \\ u_\varphi = (D_1 \ln r + D_2) \cos(\varphi - \chi), \end{cases} \quad (27)$$

где  $\chi$  — некоторый заданный угол, характеризующий распределение смещений  $u_r, u_\varphi$  на контуре  $r = a$ .

Опять используем (10). После подстановки (27) в (10) удовлетворяем этой системе уравнений для всех значений угла  $\varphi$  и радиуса  $r$ . В результате имеем следующее решение задачи в области пластичности:

$$\begin{cases} u_r = (E_1 \ln r + E_2) \sin(\varphi - \chi) + \frac{\tau_s(1-2\nu)}{G} r \left( \ln \frac{r}{a} - 1 \right), \\ u_\varphi = (E_1 \ln r + E_2 + E_1) \cos(\varphi - \chi). \end{cases} \quad (28)$$

Из (28) следует система уравнений для нахождения  $E_1, E_2$ :

$$\begin{cases} u_r|_{r=a} = (E_1 \ln a + E_2) \sin(\varphi - \chi), \\ u_\varphi|_{r=a} = (E_1 \ln a + E_2 + E_1) \cos(\varphi - \chi). \end{cases}$$

Она определяет вид смещений  $u_r, u_\varphi$  на границе  $r = a$ .

Далее вычислим максимальную сдвиговую деформацию  $\gamma$  в пластической области деформирования:

$$\gamma = \frac{1}{2} (\varepsilon_r - \varepsilon_\varphi) = \frac{1}{2} \left( \frac{\partial u_r}{\partial r} - \frac{u_r}{r} - \frac{\partial u_\varphi}{r \partial \varphi} \right) = \frac{\tau_s(1-2\nu)}{2G} + \frac{E_1}{r} \sin(\varphi - \chi).$$

Эта деформация также должна быть не меньше  $\gamma_s = \tau_s/(2G)$ , т. е. должно быть выполнено условие

$$\frac{E_1}{r} \sin(\varphi - \chi) \geq \frac{\tau_s \nu}{G}. \quad (29)$$

В частности, при  $r = a$   $\sin(\varphi - \chi) \geq \frac{\tau_s \nu a}{GE_1}$ . Так как синус по абсолютной величине ограничен единицей, то должно быть выполнено ограничение

$$|E_1| \geq \frac{\tau_s \nu}{G} a.$$

Если  $E_1 = +\frac{\tau_s \nu}{G} a$ , то только точка  $\varphi = \frac{\pi}{2} + \chi$  на контуре  $r = a$  удовлетворяет условию (29).

С ростом  $E_1$  ( $E_1 > \frac{\tau_s \nu}{G} a$ ) граница области пластичности возрастает, при этом концевые точки на границе  $r = a$  определяются условиями

$$\chi + \arcsin \frac{\tau_s \nu a}{GE_1} \leq \varphi \leq \chi + \pi - \arcsin \frac{\tau_s \nu a}{GE_1}.$$

Если, например,  $E_1 = \frac{6}{5} \frac{\tau_s \nu a}{G}$ , то  $\chi + 0.314\pi \leq \varphi \leq \chi + \pi - 0.314\pi$ . Граница пластической области в этом случае  $r = c(\varphi)$  находится из уравнения  $\gamma = \gamma_s$  или на основании (29) как

$$c(\varphi) = \frac{E_1 G}{\tau_s \nu} \sin(\varphi - \chi).$$

На рис. 3 эта зависимость построена для  $E_1 = \frac{6}{5} \frac{\tau_s \nu a}{G}$ . Она представляет собой дугу окружности с центром в точке  $(0, 3/5)$  и радиусом окружности  $3/5$ , при этом значение  $\chi$  полагалось равным нулю.

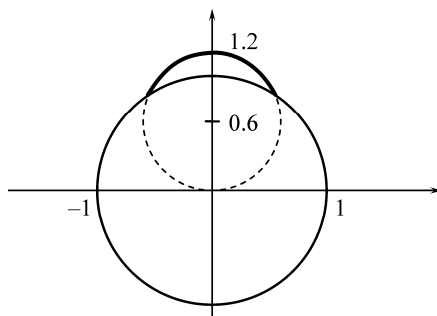


Рис. 3. Уругопластическая граница для значения  $E_1 = \frac{6 \tau_s \nu a}{5 G}$

С. Пусть  $k = 2$ , смещения  $u_r, u_\varphi$ , полученные для этого случая, имеют вид

$$\begin{cases} u_r = (E_1 \cos \ln r^{\sqrt{3}} + E_2 \sin \ln r^{\sqrt{3}}) \sin 2(\varphi - \chi) + \frac{\tau_s(1-2\nu)}{G} r \left( \ln \frac{r}{a} - 1 \right), \\ u_\varphi = (D_1 \cos \ln r^{\sqrt{3}} + D_2 \sin \ln r^{\sqrt{3}}) \cos(\varphi - \chi). \end{cases}$$

Для определения связей между коэффициентами  $E_1, E_2, D_1, D_2$  используем (10). Считая (10) справедливым для любых значений углов  $\varphi$  и радиуса  $r$ , находим отсюда следующие зависимости:

$$D_1 = \frac{E_1 + \sqrt{3}E_2}{2}, \quad D_2 = \frac{-\sqrt{3}E_1 + E_2}{2}. \quad (30)$$

Для определения  $E_1, E_2$  используем граничные значения смещений  $u_r, u_\varphi$  на границе  $r = a$ .

Далее вычисляем сдвиг  $\gamma$  по формуле

$$\begin{aligned} \gamma &= \frac{1}{2}(\varepsilon_r - \varepsilon_\varphi) = \frac{1}{2} \left( \frac{\partial u_r}{\partial r} - \frac{u_r}{r} - \frac{\partial u_\varphi}{r \partial \varphi} \right) = \\ &= \frac{\tau_s(1-2\nu)}{2G} + \sqrt{3} \left( \frac{E_2 \cos \ln r^{\sqrt{3}} - E_1 \sin \ln r^{\sqrt{3}}}{r} \right) \sin(\varphi - \chi). \end{aligned}$$

Эта величина также должна быть не меньше  $\gamma_s = \tau_s / (2\mu)$ . Как следствие, имеем ограничение

$$\frac{\sqrt{3}}{\sqrt{E_1^2 + E_2^2}} \left( \frac{\cos \ln(r^{\sqrt{3}} + \eta) \sin 2(\varphi - \chi)}{r} \right) \geq \frac{\tau_s \nu}{G}, \quad (31)$$

где

$$\cos \eta = \frac{E_2}{\sqrt{E_1^2 + E_2^2}}, \quad \sin \eta = \frac{E_1}{\sqrt{E_1^2 + E_2^2}}. \quad (32)$$

Как и в предыдущем случае, замечаем, что условие пластичности наступает прежде всего в точках

$$\varphi = \chi + \pi/4 + \pi k, \quad \text{где } k \in Z,$$

т. е. в двух диаметрально противоположных точках. Затем с ростом величин  $E_1, E_2$  зона пластичности развивается, охватывая контур выработки.



Отметим, что для вычисления  $E_1, E_2$  имеют место формулы:

$$E_1 = \frac{u_r}{\sin 2(\varphi - \chi)} \Big|_{r=a} \left( \cos \ln a^{\sqrt{3}} + \frac{\sqrt{3}}{3} \sin \ln a^{\sqrt{3}} \right) - \frac{u_\varphi}{\cos 2(\varphi - \chi)} \Big|_{r=a} \frac{2}{\sqrt{3}} \sin \ln a^{\sqrt{3}},$$

$$E_2 = - \frac{u_r}{\sin 2(\varphi - \chi)} \Big|_{r=a} \left( \frac{\sqrt{3}}{3} \cos \ln a^{\sqrt{3}} - \sin \ln a^{\sqrt{3}} \right) + \frac{u_\varphi}{\cos 2(\varphi - \chi)} \Big|_{r=a} \frac{2}{\sqrt{3}} \cos \ln a^{\sqrt{3}}.$$

Упругопластическая граница  $r = c(\varphi)$  находится как решение уравнения  $\gamma = \gamma_s$ .

В заключение заметим, что общий случай складывается из рассмотренных выше. Кроме перечисленных слагаемых, добавляются еще и слагаемые для  $k \geq 3$ .

#### ВЫВОДЫ

Показано, что по данным измерений смещений на поверхности выработки можно определить напряженно-деформированное состояние в области пластических деформаций, включая упругопластическую границу.

Построены простейшие примеры решения пластических задач.

#### СПИСОК ЛИТЕРАТУРЫ

1. Галин Л. А. Плоская упругопластическая задача // ПММ. — 1946. — Т. 10. — Вып. 3.
2. Ивлев Д. Д. Об определении перемещений в задаче Л. А. Галина // ПММ. — 1957. — Т. 21. — Вып. 5.
3. Эрлихман Ф. М. Определение перемещений в задаче Л. А. Галина // Динамика сплошной среды. — Новосибирск: ИГ СО АН СССР, 1970. — Вып. 4.
4. Аннин Б. Д. Одна плоская упругопластическая задача при экспоненциальном условии текучести // Инж. журн. МГТ. — 1966. — № 3.
5. Савин Г. Н., Парасюк О. С. Влияние неоднородного напряженного поля на пластическую зону возле отверстия // ДАН УССР. — 1948. — № 3.
6. Черепанов Г. П. К решению некоторых задач теории упругости и пластичности с неизвестной границей // ПММ. — 1964. — Т. 28. — Вып. 1.
7. Перлин П. И. Упругопластическое распределение напряжений вокруг отверстий // Труды МФТИ. — 1960. — Вып. 5.
8. Остросаблин Н. И. Определение смещений в задаче Л. А. Галина // Динамика сплошной среды. — Новосибирск: ИГ СО АН СССР, 1970. — Вып. 14.
9. Быковцев Г. И., Цветков Ю. Д. Двумерная задача нагружения упругопластической плоскости, ослабленной отверстием // ПММ. — 1987. — Т. 51. — № 5.
10. Чанышев А. И., Имамудинов Д. И. Решение упругопластической задачи о протяженной цилиндрической выработке // ФТПРПИ. — 1988. — № 5.
11. Остросаблин Н. И. Плоское упругопластическое распределение напряжений около круговых отверстий. — Новосибирск: Наука, 1984.
12. Христианович С. А., Шемякин Е. И. К теории идеальной пластичности // Изв. АН СССР. МТТ. — 1967. — № 5.
13. Качанов Л. М. Основы теории пластичности. — М.: Наука, 1969.

Поступила в редакцию 17/IV 2014